

УДК 539.23; 539.216.1; 537.311.322

ТЕРМЫ ОДНОМЕРНОГО МОЛЕКУЛЯРНОГО ИОНА D_2^- В ПРОДОЛЬНОМ МАГНИТНОМ ПОЛЕ

В. Ч. Жуковский, В. Д. Кревчик^{*)}, А. А. Марко^{*)}, М. Б. Семенов^{*)},
А. Б. Грунин^{*)}

(кафедра теоретической физики)

E-mail: zhukovsk@phys.msu.su

В рамках модели потенциала нулевого радиуса рассмотрена задача о связанных состояниях электрона в поле двух D^0 -центров (двухцентровая задача) в полупроводниковой квантовой нити с параболическим потенциалом конфайнмента при наличии продольного магнитного поля. Получены уравнения, описывающие g - и u -термы, соответствующие симметричным и антисимметричным состояниям электрона, локализованного на D_2^- -центре. Исследована зависимость термов от величины магнитного поля в квантовой нити с параболическим потенциалом конфайнмента.

Как показывают эксперименты [1], в низкоразмерных системах при определенных условиях возможны реакции типа $D^0 + e \rightarrow D^-$, в результате которых нейтральные мелкие доноры связывают дополнительный электрон с образованием популяции так называемых D^- -состояний. Такие состояния, ограниченные потенциалом конфайнмента, открывают новые возможности для изучения корреляционных эффектов в низкоразмерных системах [1]. В настоящей работе рассмотрена ситуация, когда не все D^0 -позиции могут эффективно заполняться электронным переносом из барьера. В этом случае в зависимости от расстояния R между D^0 -центрами возможно образование отрицательного молекулярного иона D_2^- . Следует отметить, что система, состоящая из слабосвязанного электрона в поле двух одинаковых потенциальных центров, встречается также и в щелочно-галлоидных кристаллах [2]. Это так называемый M^- -центр окраски, который представляет собой электрон в поле нейтрального M -центра (два рядом расположенных F -центра). Как известно [3, 4], D^- -центр является простейшей системой, которая может моделироваться электроном в поле потенциала нулевого радиуса. Ранее [5, 6] нами было показано, что метод потенциала нулевого радиуса позволяет получить аналитическое решение для волновой функции и энергии связи локализованного на D^0 -центре электрона, а также исследовать примесное магнитопоглощение света в квантовой нити (КН) с параболическим потенциалом конфайнмента. Моделирование отрицательного молекулярного иона D_2^- и исследование его магнитооптических свойств в КН представляет отдельный интерес. Так как D_2^- -система является симметричной относительно ее центра, состояния электрона при фиксированном расстоянии R между D^0 -центрами должны быть либо симметричными (g -термы), либо антисимметричными (u -термы). Очевидно, что рас-

щепление g - и u -термов (вырожденных при больших R) будет определяться величиной R и как следствие понижаться размерности параметрами КН. С другой стороны, приложенное вдоль оси КН магнитное поле играет роль варьируемого параметра, посредством которого можно изменять геометрический конфайнмент системы и, следовательно, управлять как величиной расщепления, так и энергиями оптических переходов [6].

Цель настоящей работы состоит в том, чтобы в рамках модели потенциала нулевого радиуса проследить за эволюцией термов с изменением величины продольного магнитного поля.

Предполагается, что КН имеет форму круглого цилиндра, радиус основания L которого значительно меньше его длины L_z ($L \ll L_z$). Для описания одноэлектронных состояний в КН используется параболический потенциал конфайнмента:

$$V(\rho) = \frac{m^*}{2} \omega_0^2 \rho^2, \quad (1)$$

где $\rho \leq L$; ρ, ϕ, z — цилиндрические координаты; m^* — эффективная масса электрона; ω_0 — характерная частота удерживающего потенциала КН.

Векторный потенциал продольного по отношению к оси КН магнитного поля $\mathbf{A}(\mathbf{r})$ выбирается в симметричной калибровке так, что $\mathbf{A} = (-yB/2, xB/2, 0)$. Для не возмущенных примесями одноэлектронных состояний в продольном магнитном поле [6] гамильтониан в выбранной модели (в цилиндрической системе координат) имеет вид

$$\hat{H} = -\frac{\hbar^2}{2m^*} \left(\frac{1}{\rho} \frac{\partial}{\partial \rho} \left(\rho \frac{\partial}{\partial \rho} \right) + \frac{1}{\rho^2} \frac{\partial^2}{\partial \phi^2} \right) - \frac{i\hbar\omega_B}{2} \frac{\partial}{\partial \phi} + \frac{m^*}{2} \left(\omega_0^2 + \frac{\omega_B^2}{4} \right) \rho^2 + \hat{H}_z, \quad (2)$$

где $\omega_B = |e|B/m^*$ — циклотронная частота; e — заряд электрона; $\hat{H}_z = (-\hbar^2/(2m^*)) \partial^2/\partial z^2$.

^{*)} Кафедра физики Пензенского государственного университета, physics@diamond.stup.ac.ru.

Тогда спектр гамильтониана (2) запишется как [7]

$$E_{n,m,k} = \frac{\hbar\omega_B m}{2} + \hbar\omega_0 \sqrt{1 + \frac{\omega_B^2}{4\omega_0^2} (2n + |m| + 1) + \frac{\hbar^2 k^2}{2m^*}}, \quad (3)$$

$$\Psi_{n,m,k}(\rho, \phi, z) = \frac{1}{2\pi a_1} \left[\frac{n!}{(n + |m|)!} \right]^{1/2} \left(\frac{\rho^2}{2a_1^2} \right)^{|m|/2} \times \\ \times \exp\left(-\frac{\rho^2}{4a_1^2}\right) L_n^{|m|} \left(\frac{\rho^2}{2a_1^2} \right) \exp(im\phi) \exp(ikz), \quad (4)$$

где $n = 0, 1, 2, \dots$ — квантовое число, соответствующее уровням Ландау; $m = 0, \pm 1, \pm 2, \dots$ — магнитное квантовое число; k — проекция квазиволнового вектора электрона в КН на ось OZ ; $a_1^2 = a^2 / (2\sqrt{1 + a^4 / (4a_B^4)})$; $a = \sqrt{\hbar / (m^* \omega_0)}$; $a_B = \sqrt{\hbar / (m^* \omega_B)}$ — магнитная длина; $L_n^s(x)$ — полиномы Лагерра [8].

Следует отметить, что в использованном здесь приближении амплитуда потенциала КН U_0 является эмпирическим параметром и, следовательно, выражения (3) и (4) справедливы, когда $U_0 \sqrt{1 + \omega_B^2 / (4\omega_0^2)} / (\hbar\omega_0) \gg 1$, где $U_0 = m^* \omega_0^2 L^2 / 2$.

Двухцентровой потенциал моделируется суперпозицией потенциалов нулевого радиуса мощностью $\gamma_i = 2\pi\hbar^2 / (\alpha_i m^*)$, $i = 1, 2$:

$$V_\delta(\mathbf{r}, \mathbf{R}_1, \mathbf{R}_2) = \sum_{i=1}^2 \gamma_i \delta(\mathbf{r} - \mathbf{R}_i) [1 + (\mathbf{r} - \mathbf{R}_i) \nabla_{\mathbf{r}}], \quad (5)$$

где $\mathbf{R}_i = (\rho_i, \phi_i, z_i)$ — координаты D^0 -центров; α_i определяется энергией E_i электронного локализованного состояния на этих же D^- -центрах в массивном полупроводнике.

Волновая функция электрона $\Psi_\lambda(\mathbf{r}, \mathbf{R}_1, \mathbf{R}_2)$, локализованного на D_2^- -центре, удовлетворяет уравнению Липпмана–Швингера для связанного состояния:

$$\Psi_\lambda(\mathbf{r}, \mathbf{R}_1, \mathbf{R}_2) = \int d\mathbf{r}_1 G(\mathbf{r}, \mathbf{r}_1; E_\lambda) \times \\ \times V_\delta(\mathbf{r}_1, \mathbf{R}_1, \mathbf{R}_2) \Psi_\lambda(\mathbf{r}_1, \mathbf{R}_1, \mathbf{R}_2), \quad (6)$$

где $G(\mathbf{r}, \mathbf{r}_1; E_\lambda)$ — одноэлектронная функция Грина, соответствующая источнику в точке \mathbf{r}_1 , и энергии $E_\lambda = -\hbar^2 \lambda^2 / (2m^*)$ (E_λ — энергия связанного состояния электрона в поле D^0 -центров при наличии продольного магнитного поля, отсчитываемая от дна двумерной осцилляторной ямы):

$$G(\mathbf{r}, \mathbf{r}_1; E_\lambda) = \int_{-\infty}^{\infty} d\left(\frac{kL}{2\pi}\right) \sum_{n,m} \frac{\Psi_{n,m,k}^*(\mathbf{r}_1) \Psi_{n,m,k}(\mathbf{r})}{E_\lambda - E_{n,m,k}}. \quad (7)$$

Подставляя (5) в (6), получим

$$\Psi_\lambda(\mathbf{r}, \mathbf{R}_1, \mathbf{R}_2) = \\ = \gamma_1 G(\mathbf{r}, \mathbf{R}_1; E_\lambda) (\hat{T}_1 \Psi_\lambda)(\mathbf{R}_1, \mathbf{R}_1, \mathbf{R}_2) + \\ + \gamma_2 G(\mathbf{r}, \mathbf{R}_2; E_\lambda) (\hat{T}_2 \Psi_\lambda)(\mathbf{R}_2, \mathbf{R}_1, \mathbf{R}_2), \quad (8)$$

где

$$\hat{T}_i = \lim_{\mathbf{r} \rightarrow \mathbf{R}_i} [1 + (\mathbf{r} - \mathbf{R}_i) \nabla_{\mathbf{r}}]. \quad (9)$$

Применяя последовательно операцию (9) к обеим частям соотношения (8), получим систему алгебраических уравнений вида

$$\begin{cases} c_1 = \gamma_1 a_{11} c_1 + \gamma_2 a_{12} c_2, \\ c_2 = \gamma_1 a_{21} c_1 + \gamma_2 a_{22} c_2. \end{cases} \quad (10)$$

Здесь

$$c_1 = (\hat{T}_1 \Psi_\lambda)(\mathbf{R}_1, \mathbf{R}_1, \mathbf{R}_2); \\ c_2 = (\hat{T}_2 \Psi_\lambda)(\mathbf{R}_2, \mathbf{R}_1, \mathbf{R}_2); \\ a_{i,j} = (\hat{T}_i \Psi_\lambda)(\mathbf{R}_i, \mathbf{R}_j; E_\lambda), \quad i, j = 1, 2.$$

Исключая из системы (10) коэффициенты c_i , содержащие неизвестную функцию, получим уравнение, определяющее зависимость энергии связанного состояния E_λ электрона на D_2^- -центре от координат D^0 -центров, параметров КН и величины магнитного поля:

$$\gamma_1 a_{11} + \gamma_2 a_{22} - 1 = \gamma_1 \gamma_2 (a_{11} a_{22} - a_{12} a_{21}). \quad (11)$$

В случае, когда $\gamma_1 = \gamma_2 = \gamma$, уравнение (11) распадается на два уравнения, определяющие симметричное (g -терм) и антисимметричное (u -терм) состояния электрона соответственно:

$$\gamma a_{11} = 1 - \gamma a_{12} \quad (c_1 = c_2), \quad (12)$$

$$\gamma a_{11} = 1 + \gamma a_{12} \quad (c_1 = -c_2). \quad (13)$$

Учитывая явный вид одноэлектронной функции Грина в цилиндрической системе координат [5]

$$G(\rho, \phi, z, \rho_i, \phi_i, z_i; E_\lambda) = -\hbar^2 \left(2^3 \pi^{3/2} E_d a_d^3 m^* \beta^{1/2} \right)^{-1} \times \\ \times \left\{ \int_0^\infty \frac{1}{\sqrt{t}} \exp \left[- \left((\beta \eta^2 + w) t + \frac{(z - z_i)^2}{4\beta a_d^2 t} \right) \right] \times \right. \\ \times 2w (1 - \exp(-2wt))^{-1} \times \\ \times \exp \left[- \frac{(\rho_i^2 - \rho^2) w (1 + \exp(-2wt))}{4\beta a_d^2 (1 - \exp(-2wt))} \right] \times \\ \times \exp \left[\frac{1}{2} \left(\exp [i(\phi - \phi_i) - \beta a^{*-2} t] + \right. \right. \\ \left. \left. + \exp [-i(\phi - \phi_i) + \beta a^{*-2} t] \right) \frac{\rho_i \rho w \exp(-wt)}{\beta a_d^2 (1 - \exp(-2wt))} - \right. \\ \left. \left. \right\}$$

$$-\frac{1}{t} \exp \left[-\frac{(\rho - \rho_i)^2 w}{4\beta a_d^2 t} \right] dt +$$

$$+ 2\sqrt{\pi\beta} a_d [(\rho - \rho_i)^2 w + (z - z_i)^2]^{-1/2} \times$$

$$\times \exp \left[-\sqrt{\frac{(\beta\eta^2 + w)(\rho - \rho_i)^2 w + (z - z_i)^2}{\beta a_d^2}} \right] \quad (14)$$

и принимая во внимание, что D^0 -центры расположены на оси КН $\mathbf{R}_i = (0, 0, z_i)$, уравнения (12) и (13) можно представить в следующем виде:

$$\frac{1}{\sqrt{\pi\beta}} \int_0^\infty \frac{dt}{\sqrt{t}} \exp [-(\beta\eta^2 + w)t] \times$$

$$\times \left[\frac{1}{t} - 2w(1 - \exp(-2wt))^{-1} \right] \times$$

$$\times \left(1 \pm \exp \left(-\frac{R_{12}^*}{4\beta t} \right) \right) + 2\sqrt{\eta^2 + \beta^{-1}w} - 2\eta_i =$$

$$= \pm \frac{2\sqrt{\pi\beta}}{R_{12}^*} \exp \left[-R_{12}^* \sqrt{\frac{\beta\eta^2 + w}{\beta}} \right], \quad (15)$$

где знак «+» относится к симметричным (g -терм), а знак «-» — к антисимметричным (u -терм) состояниям;

$$\eta^2 = |E_\lambda|/E_d; \quad \beta = L^* / (4\sqrt{U_0}); \quad L^* = 2L/a_d;$$

$$U_0^* = U_0/E_d; \quad \eta_i^2 = |E_i|/E_d; \quad w = \sqrt{1 + \beta^2 a^{*-4}};$$

$$R_{12}^* = R_{12}/a_d; \quad R_{12} = |z_1 - z_2|;$$

$a^* = a_B/a_d$; a_d и E_d — эффективный боровский радиус и эффективная боровская энергия соответственно.

Зависимость термов от величины магнитного поля B в КН на основе InSb, полученная с помощью уравнения (15), показана на рис. 1 для случая $E_\lambda < 0$.

При этом было учтено, что из-за наличия квантового размерного эффекта энергию связи локализованного на D_2^- -центре электрона $E_\lambda^{(QW)}$ в КН необходимо определить как [5]

$$E_\lambda^{(QW)} = \begin{cases} E_{0,0} + |E_\lambda|, & E_\lambda < 0, \\ E_{0,0} - |E_\lambda|, & E_\lambda > 0, \end{cases} \quad (16)$$

где $E_{0,0} = \hbar\omega_0 \sqrt{1 + \omega_B^2 / (4\omega_0^2)}$.

Из рис. 1 видно, что в случае g -терма (кривая 1) $|E_\lambda^{(QW)}| \rightarrow \infty$ при $R_{12}^* \rightarrow 0$, т.е. наблюдается своеобразное «падение на центр» [2]. Напротив, у состояния с меньшей энергией связи (u -терм) (кривая 2) $|E_\lambda^{(QW)}|$ уменьшается при $R_{12}^* \rightarrow 0$. Таким образом, с уменьшением R_{12}^* возникает расщепление между вырожденными при $R_{12}^* \geq 1$ g - и u -термами.

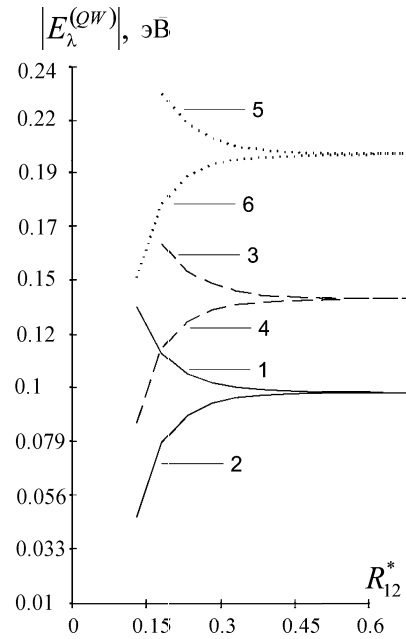


Рис. 1. Зависимость энергии связи электрона от расстояния между D^0 -центрами при $L = 65$ нм, $U_0 = 0.1$ эВ, $E_i = 0.01$ эВ: 1 — g -терм, $B = 0$; 2 — u -терм, $B = 0$; 3 — g -терм, $B = 10$ Тл; 4 — u -терм, $B = 10$ Тл; 5 — g -терм, $B = 20$ Тл; 6 — u -терм, $B = 20$ Тл

На рис. 1 видна также эволюция g - и u -термов с изменением величины магнитного поля (ср. кривые 1, 2 и 5, 6): с ростом величины магнитного поля энергия связи D_2^- -центра возрастает, причем условия существования g -состояния становятся более жесткими (ср. кривые 1 и 5). На рис. 2 приведена зависимость расщепления $|E_{\lambda g} - E_{\lambda u}|$ между g - и u -термами от величины магнитного поля. Наличие чувствительности расщепления к магнитному полю важно для экспериментального изучения структуры полосы поглощения, возникающей из-за электронных переходов между g - и u -состояниями D_2^- -центра. Магнитное поле оказывает, таким образом, стабилизирующее действие на D_2^- -состояния в КН. Возможность управления энергиями оптических переходов в магнитном поле представляет интерес для технологии лазерных структур, а также фотоприемников с управляемой чувствительностью в области примесного поглощения света.

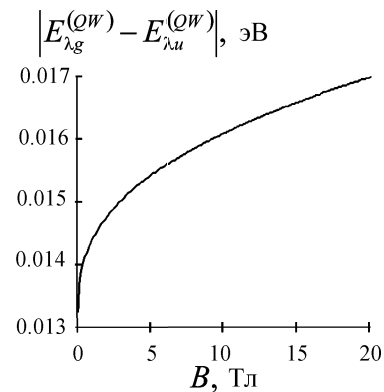


Рис. 2. Зависимость расщепления между g - и u -термами от величины магнитного поля при $L = 65$ нм, $U_0 = 0.1$ эВ, $E_i = 0.01$ эВ, $R_{12}^* = 0.25$

Литература

1. *Huani S., Najda S.P.* // Phys. Rev. Lett. 1990. **65**, N 12. P. 1486.
2. *Демков Ю.Н., Островский В.Н.* Метод потенциалов нулевого радиуса в атомной физике. Л., 1975.
3. *Пахомов А.А., Халинов К.В., Ясиевич И.Н.* // ФТП. 1996. **30**, № 8. С. 1387.
4. *Кревчик В.Д., Зайцев Р.В.* // ФТП. 2000. **34**, № 10. С. 1244.
5. *Кревчик В.Д., Грунин А.Б.* // ФТТ. 2003. **45**, № 7. С. 142.
6. *Krevchik V.D., Grunin A.B., Aringazin A.K. et al.* // Hadronic J. 2003. **26**, N 1. P. 31.
7. *Ландау Л.Д., Лифшиц Е.М.* Квантовая механика (нерелятивистская теория). М., 1989.
8. *Бейтмен Г., Эрдейи А.* Высшие трансцендентные функции. Т. 1, 2. М., 1973.

Поступила в редакцию
19.01.04